

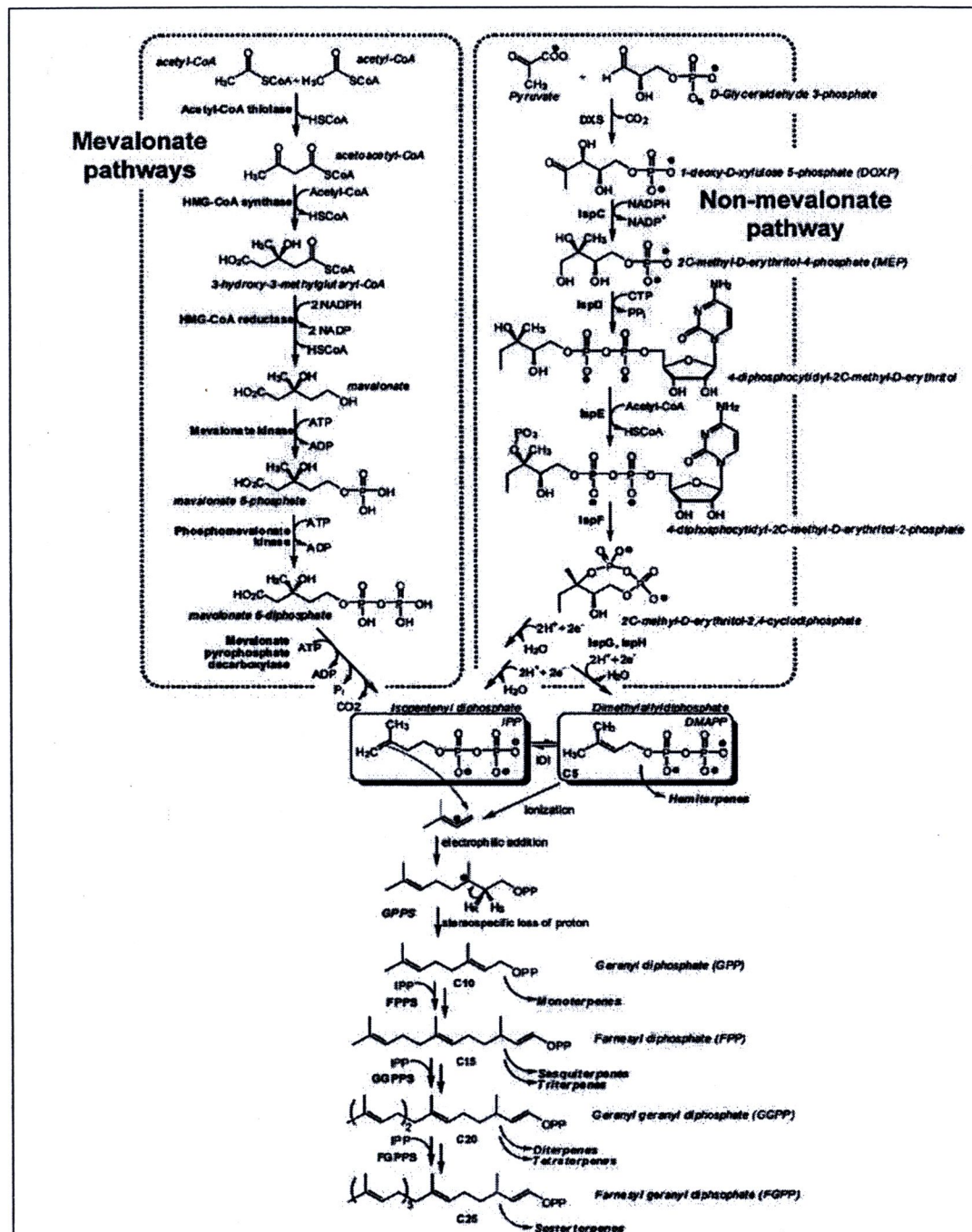
บทที่ 2

วรรณกรรมและงานวิจัยที่เกี่ยวข้อง

1. วิถีชีวสังเคราะห์ของสารประกอบเทอร์ปิน

วิถีชีวสังเคราะห์ของสารประกอบเทอร์ปิน (Terpene) สามารถแบ่งออกได้เป็น 2 แบบ คือวิถีชีวสังเคราะห์แบบ mevalonate (MVA pathway) และ deoxyxylulose-5 phosphate (DXP pathway) โดยที่วิถีชีวสังเคราะห์แบบ MVA พบได้ในสิ่งมีชีวิตในกลุ่มยูคารีโอต (eukaryote) เช่น พืช สัตว์ และพืชในแบคทีเรียบางชนิด ปฏิกิริยาเริ่มจากการรวมตัวระหว่าง acetyl-CoA สองโมเลกุล ได้เป็น acetoacetyl-CoA โดยการทำงานของเอนไซม์ acetyl-CoA thiolase จากนั้นจะถูกเปลี่ยนให้เป็น 3-hydroxy-3-methylglutaryl-CoA ด้วยเอนไซม์ HMG-CoA synthase และถูกปรับรูปเป็น mevalonate โดยเอนไซม์ HMG-CoA reductase (HMGR) ซึ่งทำหน้าที่เป็น rate limiting step จากนั้น mevalonate จะถูกเปลี่ยนเป็น isopentenyl diphosphate (IPP) ผ่านการเร่งปฏิกิริยาของเอนไซม์ mevalonate kinase, phosphomevalonate kinase และ mevalonate pyrophosphate decarboxylase ตามลำดับ ในขณะที่วิถีชีวสังเคราะห์แบบ DXP พบมากในสิ่งมีชีวิตในกลุ่มโปรคราโนต (prokaryote) เริ่มจากการรวมตัวระหว่าง glyceraldehyde-3 phosphate (G3P) และ pyruvate ได้เป็น deoxyxylulose 5-phosphate (DXP) ผ่านการทำงานของเอนไซม์ deoxyxylulose 5-phosphate synthase (DXS) และถูกปรับรูปเป็น 2C-methyl-D-erythriol-4-phosphate (MEP) โดยเอนไซม์ deoxyxylulose 5-phosphate reductoisomerase (DXR) และถูกเปลี่ยนเป็น IPP ผ่านการเร่งปฏิกิริยาของเอนไซม์ 4-diphosphocytidyl 2C-methyl-D-erythritol synthase (IspD), 4-diphosphocytidyl 2C-methyl-derythritol kinase (IspE), 2C-methyl-D-erythritol 2,4-cyclodiphosphate synthase (IspF), 4-hydroxy-3-methyl-but-2-enyl pyrophosphate synthase (IspG) และ 4-Hydroxy-3-methyl-but-2-enyl pyrophosphate reductase (IspH) ตามลำดับ (รูปที่ 2.1)

การสังเคราะห์เทอร์ปินในพืชสามารถเกิดขึ้นได้ 2 รูปแบบ โดยที่วิถีสังเคราะห์แบบ MVA พบในส่วนของไซโตพลาสซึมและใช้ในการสังเคราะห์สารกลุ่ม sesquiterpenoid, triterpenoid และ sterols ในขณะที่วิถีชีวสังเคราะห์แบบ DXP พบในคลอโรพลาสต์มีบทบาทในการสังเคราะห์สาร monoterpene, diterpene และ carotenoids ตามลำดับ การทำวิศวกรรมเมtabolismโดยเพิ่มการแสดงออกของยีน *dxs* และ *dxr* สามารถเพิ่มการผลิตสารในกลุ่มเทอร์ปินอยได้ (Ajikumar et al., 2008)

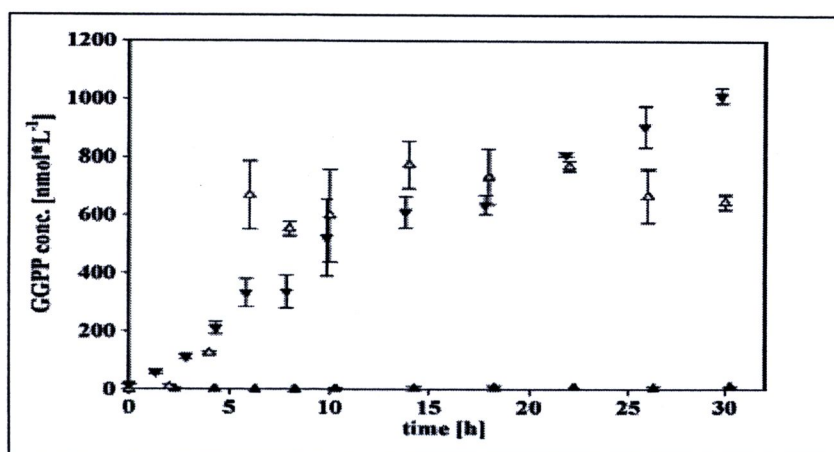


รูปที่ 2.1 แสดงวิถีชีวสังเคราะห์สารในกลุ่มเทอร์ปินแบบ MVA และ DXP (Ajikumar et al., 2008)

2. วิถีชีวสังเคราะห์ของสารประกอบเทอร์ปินใน *Escherichia coli*

วิถีชีวสังเคราะห์ของสารประกอบเทอร์ปินใน *E. coli* เกิดขึ้นในแบบ DXP โดยที่ isopentenyl diphosphate (IPP) จะเกิดปฏิกิริยา isomerization ได้เป็น dimethylallyl pyrophosphate (DMAPP) โดยการทำงานของเอนไซม์ isopentenyl diphosphate isomerase (IDI) จากนั้นเกิดปฏิกิริยา chain

elongation ในแบบ head to tail condensation โดย.enoen ใช้มีนิกลุ่ม prenyl transferase ได้แก่ geranyl diphosphate synthase (GPPS), farnesyl diphosphate synthase (FPPS) และ geranylgeranyl diphosphate synthase (GGPPS) ได้เป็น geranyl diphosphate (GPP), farnesyl diphosphate (FPP) และ geranylgeranyl diphosphate (GGPP) ตามลำดับ ซึ่งสารเหล่านี้จะถูกนำมาใช้ในปฏิกริยาเติมหมู่พรินิล (prenylation) ให้แก่สารชีวโมเลกุลชนิดต่างๆ โดยที่ IPP และ DMAPP ถูกนำมาใช้ในการเติมหมู่พรินิลให้กับ tRNA (Motorin et al., 1997) ส่วน FPP เกี่ยวข้องในการสังเคราะห์ ubiquinone, bactroprenol และ heme ในขณะที่ GGPP ถูกนำมาใช้เป็นสารตั้งต้นของ.enoen ใช้มี octaprenyl diphosphate synthase (IspB) ซึ่งเกี่ยวข้องกับการสังเคราะห์ bactroprenol โดยมีหน้าที่ในการขนส่งไปที่โภคแลนออกสู่เยื่อหุ้มเซลล์ จากการศึกษาของ Vallon และคณะแสดงให้เห็นว่าการวิศวกรรมเมทานอลิกโดยเพิ่มการแสดงออกของยีน GGPPS ใน *E. coli* ส่งผลให้มีการผลิต GGPP สูงขึ้นเมื่อเทียบกับกลุ่มควบคุมที่ไม่ได้รับการถ่ายโอนยีน GGPPS (รูปที่ 2.2) (Vallon et al., 2008)



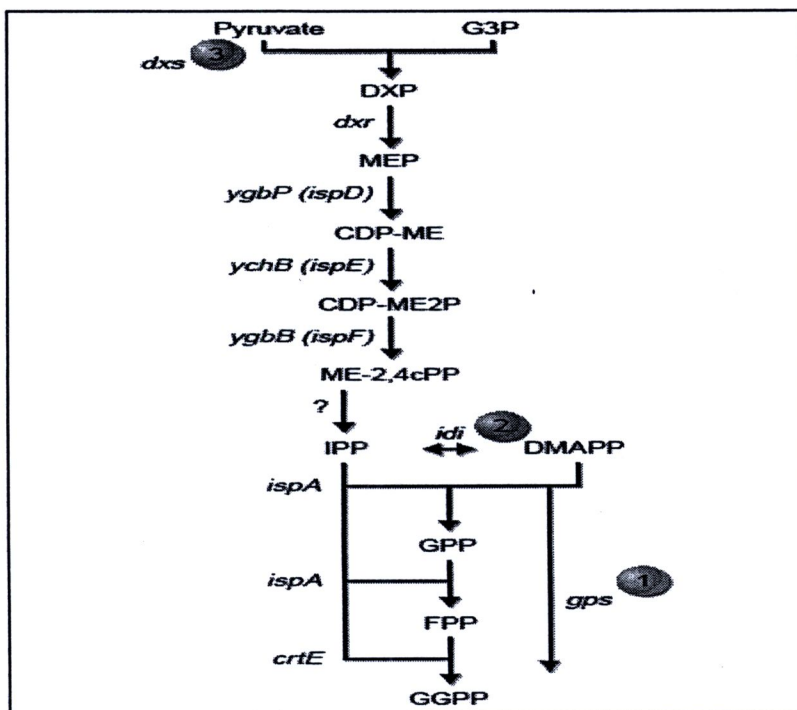
รูปที่ 2.2 แสดงปริมาณ GGPP ที่ตรวจได้จากริบอโนเมต์ *E. coli* ที่ผ่านการทำวิศวกรรมเมทานอลิกโดยเพิ่มการแสดงออกของยีน GGPPS โดยที่ ▼ และ Δ คือ *E. coli* ที่ได้รับการถ่ายโอนยีน GGPPS; ▲ คือ *E. coli* ที่ได้รับการถ่ายโอน empty vector (Vallon et al., 2008)

3. แนวทางการทำวิศวกรรมเมทานอลิกเพื่อเพิ่มระดับการสร้างสารเทอร์พีนอยด์

เนื่องจาก *E. coli* ที่อยู่รูปแบบสายพันธุ์ดั้งเดิม (wild type strain) มีการผลิต GGPP ในปริมาณต่ำมาก ดังนั้นการเพิ่มระดับการสร้าง GGPP จึงถือว่าเป็นขั้นตอนสำคัญในการทำวิศวกรรมเมทานอลิก

ลิกของสารกลุ่มเทอร์ปีนใน *E. coli* และ *Saccharomyces cerevisiae* นอกจาก GGPP จะเป็นสารตั้งต้นในการผลิต GGOH แล้วยังเป็นสารตัวกลางสำคัญในวิถีชีวสังเคราะห์ของสารกลุ่ม diterpenoids และ tetraterpenoids อีกด้วย ดังนั้นการเพิ่มระดับการสร้าง GGPP ส่งผลเพิ่มวิถีชีวสังเคราะห์ของสารเหล่านี้ได้

ในปัจจุบันแนวทางการทำวิศวกรรมเมทabolism เพื่อเพิ่มระดับการสร้าง GGPP ได้แก่ การเพิ่มการแสดงออกของยีน *GGPPS* ในแบบ heterologous expression (Vallon et al., 2008) การเปลี่ยน基因 *yizN* FPP synthase เป็น GGPP synthase โดยการทำ site directed mutagenesis และเห็นว่านำไปใช้ก็สามารถออกในรีคอมบิแนนท์ *E. coli* (Lee et al., 2005) การเพิ่มการแสดงออกของยีน *octaprenyl diphosphate synthase (IspB)* ซึ่งเกี่ยวข้องกับการสังเคราะห์ ubiquinone ใน *E. coli* และการแสดงออกร่วมของยีน *GGPPS* ร่วมกับยีนที่อยู่ในวิถี DXP เช่น DXP synthase หรือ DXP reductoisomerase เป็นต้น (รูปที่ 2.3) (Rohlin et al., 2001)



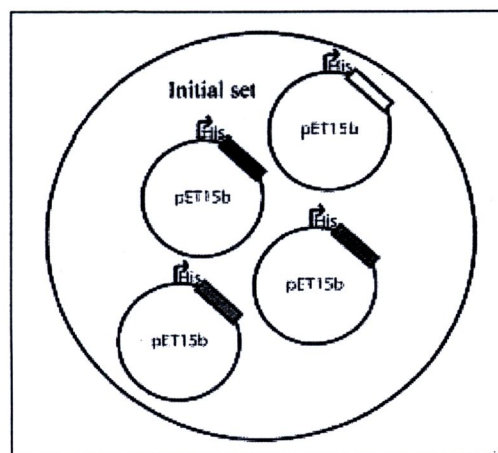
รูปที่ 2.3 การทำวิศวกรรมเมทabolism เพื่อเพิ่มระดับการสร้าง GGPP ใน *E. coli* โดยอาศัยการแสดงออกร่วมยีนที่เป็น rate limiting step ในวิถี DXP (Rohlin et al., 2001)

3.1 การแสดงออกร่วมของยีนใน *E. coli*

ปัจจุบันแนวทางการทำวิศวกรรมเมtabolism เพื่อเพิ่มระดับการสร้างสารกลุ่มเทอร์ปีนใน *E. coli* อาศัยการแสดงออกร่วม (coexpression) ของยีนเป้าหมายมากกว่า 1 ชนิด โดยอาศัยเทคโนโลยีการสร้างดีเอ็นเอสายพันธุ์ (recombinant DNA technology) จากนั้นจึงถ่ายโอนยีนเข้าสู่เชลล์เจ้าบ้านและตรวจสอบลักษณะทางฟีโนไทป์ที่ต้องการ ซึ่งการแสดงออกร่วมของยีนใน *E. coli* จะต้องทำการแสดงออกร่วมของยีนมากกว่า 1 ชนิดใน expression system ที่เหมาะสมเพื่อให้ได้สารทุติยภูมิซึ่งอาจเป็นสารใหม่ หรือเป็นการเพิ่มการผลิตสารทุติยภูมิให้มีปริมาณมากขึ้น เทคนิกที่ใช้ในการแสดงออกร่วมของยีนได้แก่

3.1.1 การใช้เทคนิคโคลทรานส์ฟอร์เมชัน (Co-transformation)

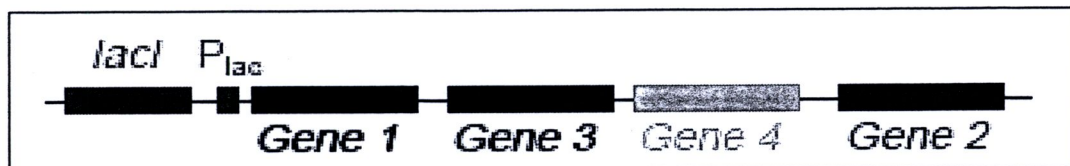
การโคลทรานส์ฟอร์เมชันเป็นเทคนิคที่ได้รับความนิยมมากในปัจจุบันและมีขั้นตอนที่ไม่ยุ่งยากซับซ้อน สามารถทำโดยได้ถ่ายโอนพลาสมิคเวคเตอร์มากกว่า 1 ชนิดเข้าสู่เชลล์เจ้าบ้านที่สนใจ (รูปที่ 2.4) และเห็นยิ่งนำให้เกิดการแสดงของยีนเป้าหมาย แล้วตรวจวัดปริมาณสารทุติยภูมิที่เชลล์สร้างขึ้น อย่างไรก็ตามเทคนิคนี้ยังมีข้อจำกัดคือ หากทำการถ่ายโอนพลาสมิคมากกว่า 1 ชนิด เข้าสู่ *E. coli* โดยที่พลาสมิคเหล่านั้นมีจุดเริ่มต้นของการจัดองค์ตัว (origin of replication) และยีนต้านยาปฏิชีวนะ (antibiotic resistance gene) ที่เหมือนกัน *E. coli* จะคัดเลือกพลาสมิคเวคเตอร์ตัวใดตัวหนึ่งเอาไว้ในเชลล์ และเนื่องจากเป็นการถ่ายโอนพลาสมิคเวคเตอร์มากกว่า 1 ชนิด ยังต้องการเจริญเติบโตของริคอมบินันท์ *E. coli* จะลดลงเนื่องจากเชลล์จะต้องนำไปลังงานบางส่วนมาใช้ในการผลิตยีนต้านยาปฏิชีวนะ และการแสดงออกของยีนเป้าหมาย (Johnston et al., 2000)



รูปที่ 2.4 การทำโคลทรานส์ฟอร์เมชันของยีน 4 ชนิดใน *E. coli* (Romier et al., 2006)

3.1.2 การใช้เทคนิค Single vector, single RNA transcript หรือ co-transcription

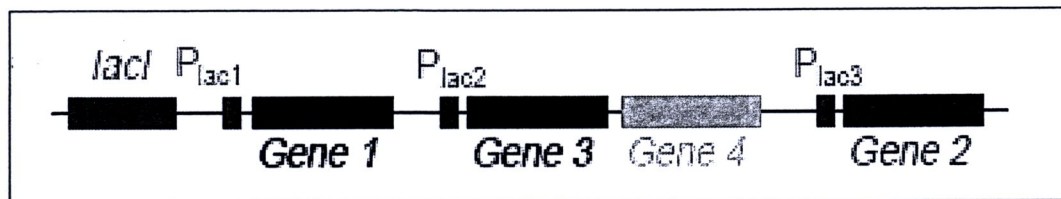
สามารถทำได้โดยการตัดต่อยีนเป้าหมายมากกว่า 1 ชนิด เข้าสู่พลาสมิด เวคเตอร์เดียวกัน โดยให้ยีนแต่ละชนิดมีส่วน ribosome binding site เป็นของตัวเอง ดังนั้นการแสดงออกของยีนทั้งหมดจะอยู่ภายใต้การควบคุมของ promoter เดียวกัน (Keasling, 1997) (รูปที่ 2.5) เทคนิคนี้ช่วยลดความซับซ้อนของการแสดงออกของยีนในตำแหน่งตัดไปมักจะลดลงเมื่อเปรียบเทียบกับยีนในตำแหน่งที่อยู่ใกล้กับ promoter มากที่สุด เนื่องจากการเกิดโครงสร้างทุติยภูมิของเอ็มอาร์เอ็นเอ (mRNA secondary formation) ส่งผลให้ความสามารถของ RNA ในการเข้าจับกับ mRNA เป้าหมายลดลง (Rucker et al., 1997)



รูปที่ 2.5 การแสดงออกร่วมของยีนแบบ Single vector, single RNA transcript ใน *E. coli* (Keasling, 1997)

3.1.3 การใช้เทคนิค Single vector, multi RNA transcript

สามารถทำได้โดยตัดต่อยีนเป้าหมายมากกว่า 1 ชนิดเข้าสู่พลาสมิดเดียวกัน โดยที่ยีนแต่ละชนิดจะให้มีส่วนของ promoter และ ribosome binding site เป็นของตัวเอง (Keasling, 1997) (รูปที่ 2.6) ซึ่งเทคนิคนี้ได้รับความนิยมเป็นอย่างมากเนื่องจากการแสดงออกของยีนแต่ละชนิดเป็นอิสระต่อกัน อีกทั้งเป็นการตัดปัญหาความไม่เข้ากันของพลาสมิดเวคเตอร์ (plasmid incompatibility) และการแสดงออกของยีนที่ลดลงเนื่องจากเซลล์จะต้องนำพลังงานบางส่วนไปใช้ในการสังเคราะห์ยีนต้านยาปฏิชีวนะ (antibiotic resistance genes) และยังช่วยลดปัญหาการเกิดโครงสร้างทุติยภูมิของ mRNA ซึ่งปัญหาเหล่านี้พบได้ในเทคนิค cotransformation และ co-transcription ตามลำดับ

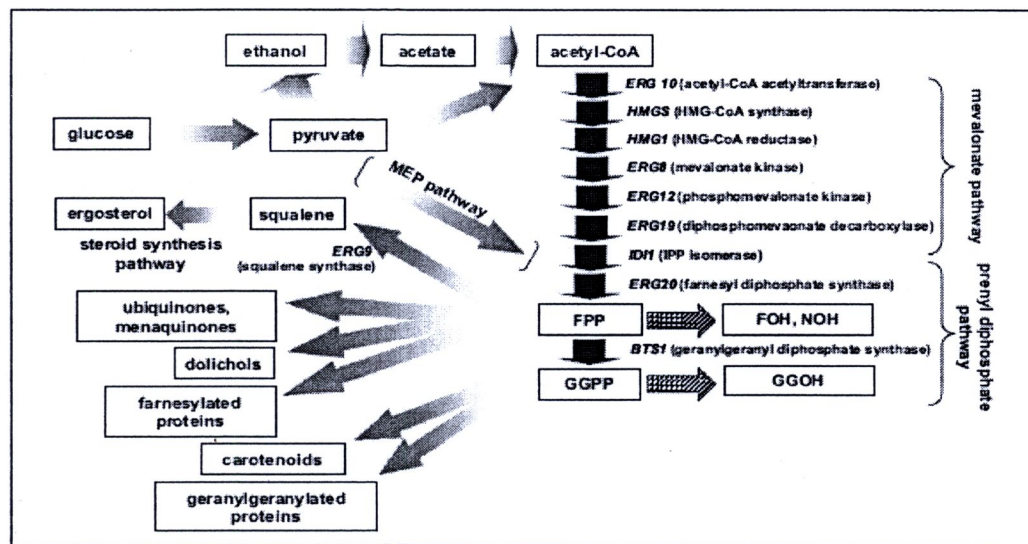


รูปที่ 2.6 การแสดงออกร่วมของยีนแบบ Single vector, multi RNA transcript ใน *E. coli*
(Keasling, 1997)

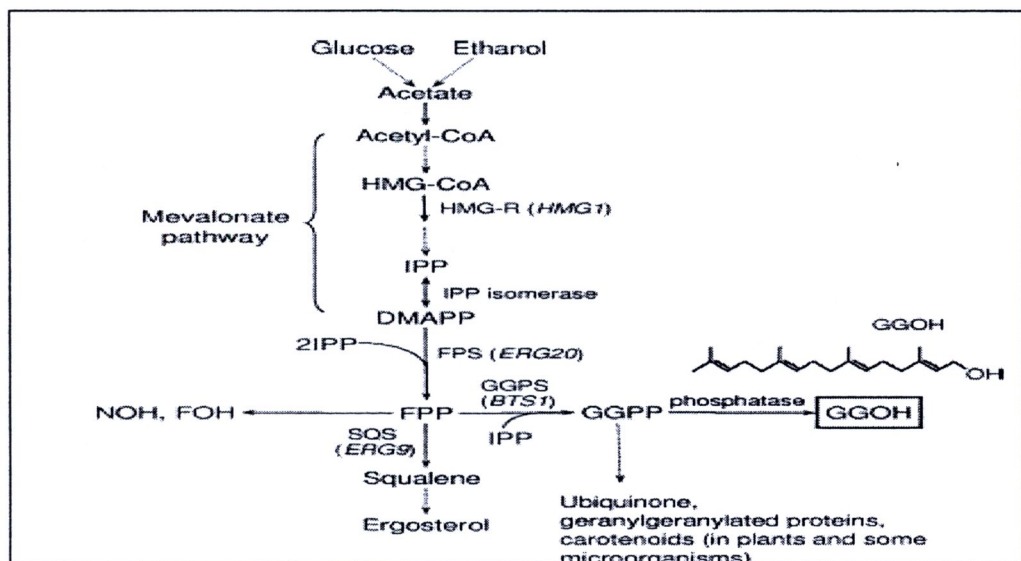
3.2 การทำวิศวกรรมเคมีเพื่อเพิ่มระดับการสร้างสารกลุ่มพรินิลแอลกอฮอล์
สารในกลุ่มพรินิลแอลกอฮอล์ที่มีการผลิตโดยใช้วิศวกรรมเคมีอัลกิ ไดแก่ farnesol
(FOH) และ geranylgeraniol (GGOH) โดยอาศัยแนวทางดังนี้

3.2.1 การแสดงออกร่วมของยีนที่ทำหน้าที่เป็น rate limiting step

เนื่องจากเซลล์เจ้าบ้านที่อยู่ในรูปแบบดั้งเดิม (wild type strain) มีการผลิต FPP และ GGPP ในปริมาณต่ำ ดังนั้นการแสดงออกร่วมของยีนที่ทำหน้าที่เป็น rate limiting step ในวิถี DXP หรือ MVA เพื่อเพิ่มการสะสมของ FPP และ GGPP ผ่านการแสดงออกของยีน FPPS และ GGPPS ในรูปแบบ heterologous expression ส่งผลให้มีการผลิต FOH และ GGOH สูงขึ้น โดยที่ Ohto และคณะได้ทำวิศวกรรมเคมีของ GGOH ใน *S. cerevisiae* โดยใช้การแสดงออกร่วมของยีน HMG-CoA reductase (*HMG1*) และ geranylgeranyl diphosphate synthase (*BTS1*) และอาศัยการทำงานของเอนไซม์ endogenous phosphatase ที่มีอยู่ในเซลล์เจ้าบ้านส่งผลให้มีการผลิต GGOH สูงขึ้นที่ระดับความเข้มข้น 2.46 mg/L (Ohto et al., 2008) (รูปที่ 2.7) การแสดงออกร่วมของยีน *HMGR*, *FPPS*, *GGPPS* (*BTS1*) และ diacylglycerol diphosphate phosphatase (*DPPI*) ใน *S. cerevisiae* ส่งผลให้มีการผลิต GGOH ที่ระดับความเข้มข้น 3.3 g/L ในขณะที่กลุ่มควบคุมที่ไม่ได้รับการถ่ายโอนยีน *GGPPS* ไม่พบการผลิตสารดังกล่าว (รูปที่ 2.8) (Tokuhiro et al., 2009) และการผลิต GGOH ใน *E. coli* JM101 โดยใช้การแสดงออกร่วมของยีน *idi* และ mutant ของยีน FPP synthase (*IspAm*) และอาศัยการทำงานของเอนไซม์ alkaline phosphatase ส่งผลให้มีการผลิต GGOH สูงขึ้น ในขณะกลุ่มควบคุมที่ได้รับการถ่ายโอนยีน *FPPS* ในแบบดั้งเดิม (wild type) ไม่พบการผลิต GGOH (Ohto et al., 2009) (รูปที่ 2.9)

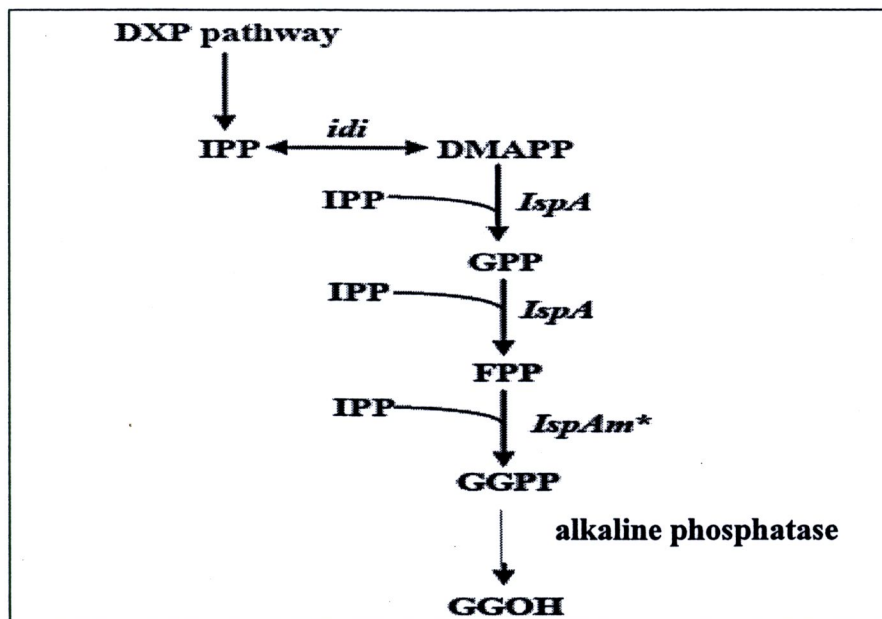


รูปที่ 2.7 การทำวิศวกรรมเมแทบอลิกของพีนิลแอลกอฮอล์ใน *S. cerevisiae* (Ohta et al., 2008)



ภาพที่ 2.8 แสดงแนววิถีกรรมเมทабอลิกของ GGOH ใน *S. cerevisiae*

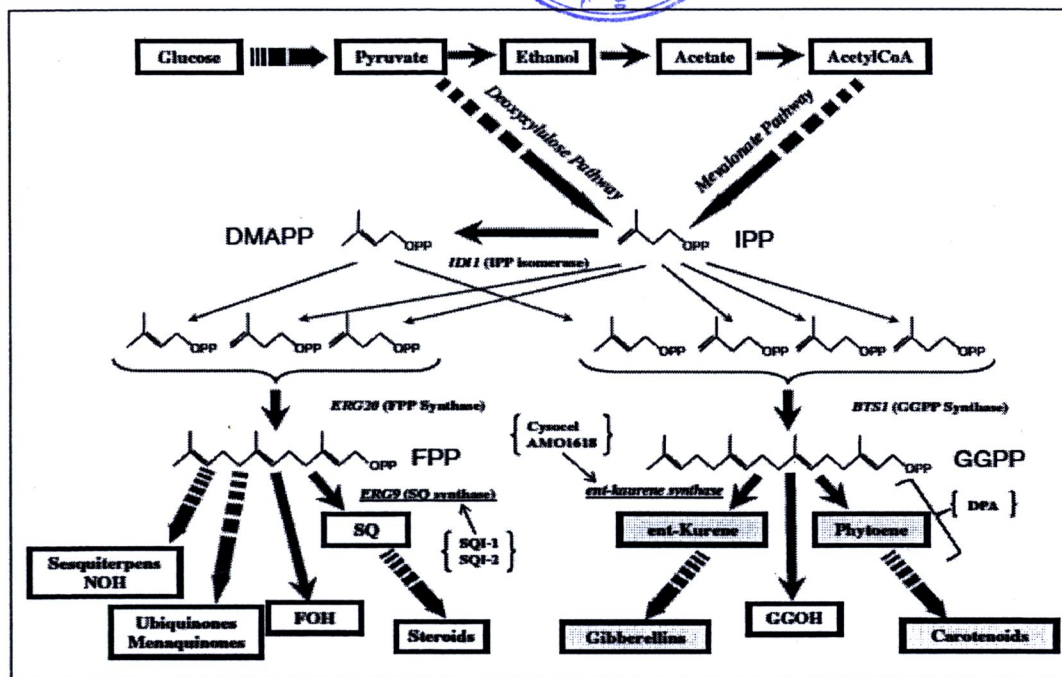
(Tokuhiro et al., 2009)



รูปที่ 2.9 การผลิต GGOH ใน *E. coli* โดยใช้การแสดงออกร่วมของยีน *idi* และ *GGPPS (IspAm*)* และเอนไซม์ Alkaline phosphatase (Ohto et al., 2009)

3.2.2 แนวทางการผลิตสารกลุ่มพรีนิลแอลกออลโดยใช้ตัวขับยั้งการทำงานของเอนไซม์

การใช้ตัวขับยั้งการทำงานของเอนไซม์ในวิธีสังเคราะห์ของสารกลุ่มเทอร์ปีนเป็นอีกทางเลือกหนึ่งที่สามารถเพิ่มระดับการสร้างสารในกลุ่มพรีนิลแอลกออล เช่น การใช้ diphenylamine (DPA) เป็นตัวขับยั้งการทำงานของเอนไซม์ phytoene synthase ซึ่งเร่งปฏิกิริยาการเปลี่ยน GGPP ให้เป็น phytoene ส่งผลให้มีการผลิต GGOH สูงขึ้น และการขับยั้งการทำงานของเอนไซม์ ent-kaurene synthase โดยการเติม cysocel ในอาหารเลี้ยงเชื้อรา *Gibberella fujikuroi* ส่งผลให้การผลิต GGOH สูงขึ้นเมื่อเทียบกับกลุ่มควบคุม (Muramatsu et al., 2008) (รูปที่ 2.10)



รูปที่ 2.10 แนวทางในการผลิตพรีนิลแอลกอฮอล์โดยใช้ตัวบัญชี้เงิน ไชม์ ent-kaurene synthase, phytoene synthase และ squalene synthase (Muramatsu et al., 2008)

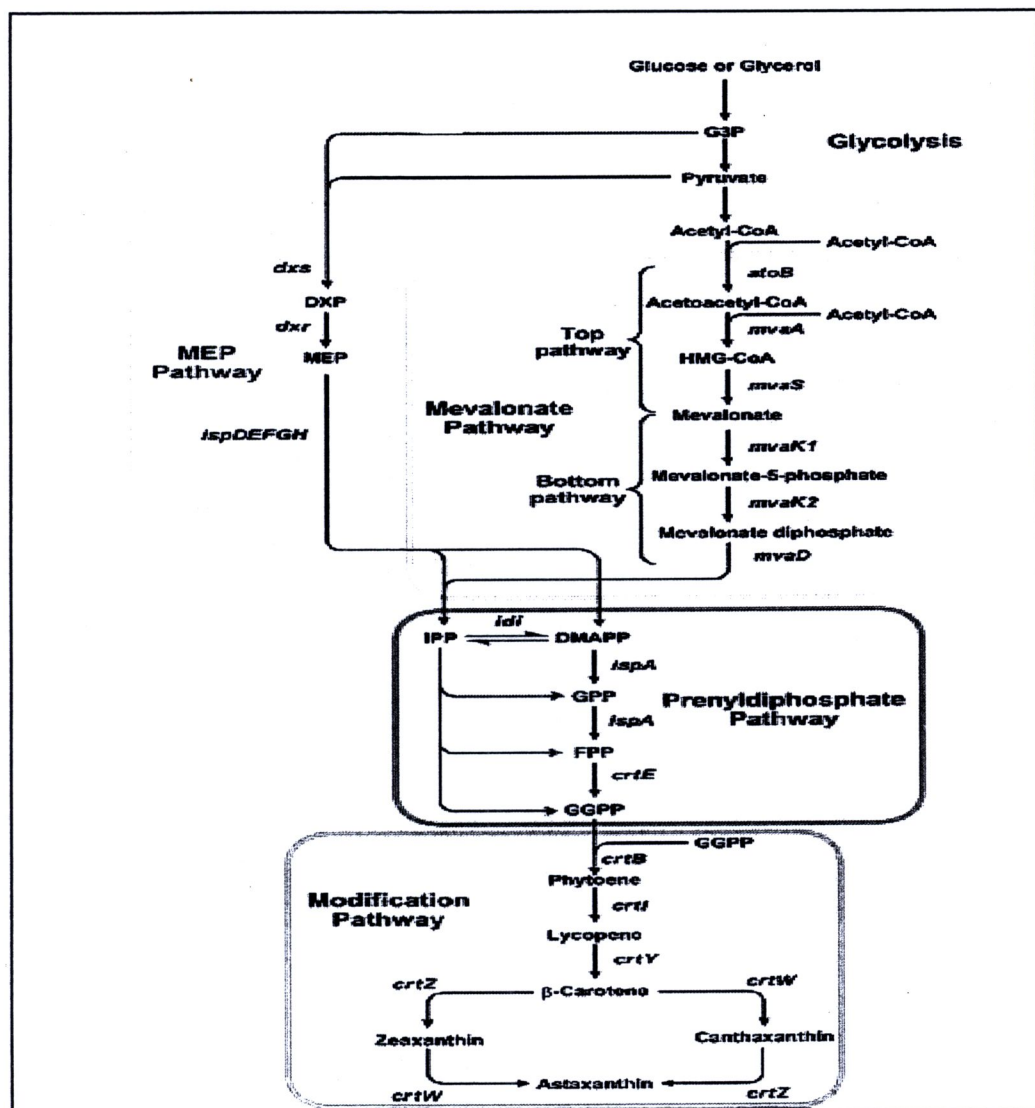
3.3 การทำวิศวกรรมเมทานอลิกของสารเทอร์ปีนอยด์ที่เกี่ยวข้องกับการสร้าง GGPP

เนื่องจาก GGPP เป็นสารตัวกลางในการเกิด GGOH การเพิ่มระดับการสร้าง GGPP ผ่านการแสดงออกของยีน GGPPS จึงเป็นขั้นตอนสำคัญ นอกจากนี้ GGPP ยังเป็นสารตัวกลางสำคัญในวิถีชีวสังเคราะห์ของสารในกลุ่มแครอทีนอยด์ และไดเทอร์ปีนอยด์ ดังนั้นการทำวิศวกรรมเมทานอลิกเพื่อเพิ่มการสร้างสารเหล่านี้จึงมีการใช้วิธีการต่างๆ ในการเพิ่มระดับของ GGPP ซึ่งอาจนำมาประยุกต์ใช้เพื่อเพิ่มการสร้าง GGPP เพื่อการผลิต GGOH ต่อไป ดังตัวอย่างต่อไปนี้

3.3.1 การทำวิศวกรรมเมทานอลิกเพื่อการผลิตสารกลุ่มแครอทีนอยด์ในจุลินทรีย์

การทำวิศวกรรมเมทานอลิกของสารกลุ่มแครอทีนอยด์ใน *E. coli* มุ่งเน้นการเพิ่มการแสดงออกของยีนที่ทำหน้าที่เป็น rate limiting step ในวิถีชีวสังเคราะห์แบบ DXP ได้แก่ *dxs*, *dxr*, *idi* และ *GGPPS* ร่วมกับยีนในวิถีชีวสังเคราะห์ของแครอทีนอยด์ (carotenogenic genes cluster) โดยการทำวิศวกรรมเมทานอลิกของสารในกลุ่มแครอทีนอยด์แบ่งออกได้เป็น 4 ขั้นตอน ดังนี้ 1) การเพิ่มการแสดงออกของเอนไซม์ในวิถีไกโอลโคไลติก (glycolytic pathway) เพื่อเพิ่มการสร้างสารตัวกลางต่างๆ ที่เกี่ยวข้องในวิถี DXP และ MVA เช่น G 3-P, pyruvate และ acetyl CoA เป็นต้น 2) การเพิ่มการแสดงออกของเอนไซม์ในวิถี DXP และ MVA เพื่อเพิ่มระดับการสร้าง IPP ซึ่งเป็นสารตัวกลางสำคัญในวิถีชีวสังเคราะห์ของเทอร์ปีนอยด์ 3) การแสดงออกร่วมของยีน *idi*,

dxs, *dxr*, *FPPS* และ *GGPPS* เพื่อเพิ่มการสร้าง GGPP ซึ่งเป็นสารตัวกลางสำคัญในวิถีชีวสังเคราะห์ของแครอทีนอยด์ และทำการถ่ายโอนกลุ่มยินที่เกี่ยวข้องในวิถีชีวสังเคราะห์ของแครอทีนอยด์ (carotenogenic genes cluster) เพื่อเร่งปฏิกิริยาการเปลี่ยน GGPP เป็นแครอทีนอยด์ (Das et al., 2007) (รูปที่ 2.11) โดยที่ตัวอย่างของการทำวิศวกรรมเมทานอลิกของแครอทีนอยด์ซึ่งประกอบด้วยการเพิ่มการสร้าง GGPP ได้สรุปไว้ในตารางที่ 2.1 และ 2.2



รูปที่ 2.11 แสดงแนวทางการทำวิศวกรรมเมทานอลิกของแครอทีนอยด์ในจุลินทรีย์
(Das et al., 2007)

ตารางที่ 2.1 การทำวิศวกรรมเมtabolism ของแแกโรทินอยด์ใน *E. coli* ผ่านการเพิ่มการสร้าง GGPP

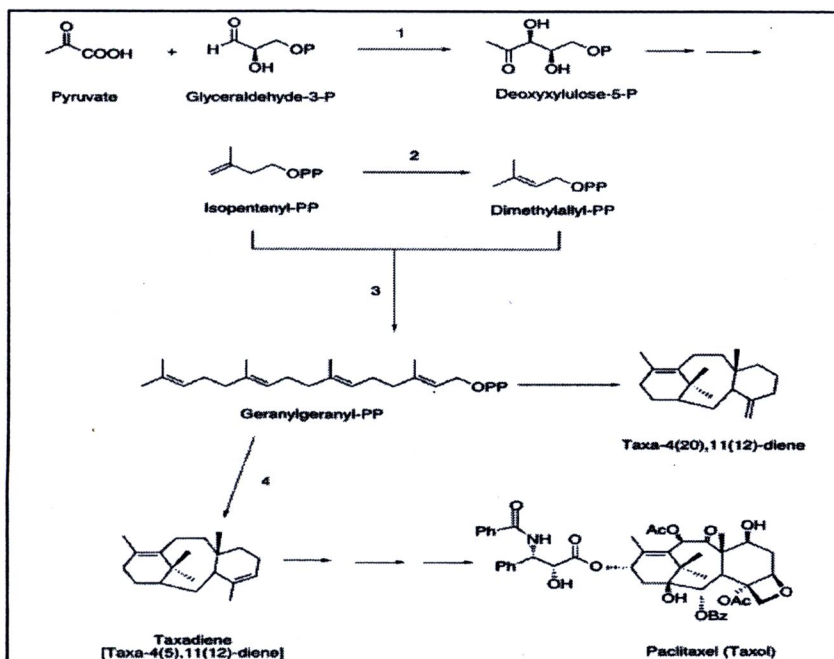
แนวทางการผลิต	แคโรทินอยด์	เอกสารอ้างอิง
เพิ่มการแสดงออกของยีน GGPPS ใน <i>E. coli</i> ที่ได้รับการถ่ายโอนยีนที่เกี่ยวข้องในชีวสังเคราะห์ของ zeaxanthin	zeaxanthin	Ruther et al., 1997
อาศัยการแสดงออกร่วมของยีน GGPPS, <i>idi</i> , และกลุ่มยีนที่เกี่ยวข้องในวิธีชีวสังเคราะห์ของ β -carotene	β -carotene	Kajiwara et al., 1997
ใช้การแสดงออกร่วมของยีน GGPPS ร่วมกับยีนที่เกี่ยวข้องในวิธีชีวสังเคราะห์ของ astaxanthin	astaxanthin	Wang et al., 1998
เพิ่มการแสดงออกของยีน GGPPS ร่วมกับยีนที่เป็น rate limiting step ในวิธี DXP ได้แก่, <i>dxs</i> , <i>dxr</i> , <i>idi</i> และยีนในวิธีชีวสังเคราะห์ของ carotenoids	β -carotene และ zeaxanthin	Albrecht et al., 1999
เพิ่มการแสดงออก (overexpression) ของยีน GGPPS, <i>dxs</i> และกลุ่มยีนที่เกี่ยวข้องในวิธีชีวสังเคราะห์ของ lycopene และ zeaxanthin	lycopene และ zeaxanthin	Matthews et al., 2000
เพิ่มการแสดงออกของยีน GGPPS และ <i>dxs</i> ใน <i>E. coli</i> ที่ได้รับการถ่ายโอนยีน <i>crtE</i> , <i>crtB</i> และ <i>crtI</i>	lycopene	Kim et al., 2001
เพิ่มระดับการสร้าง GGPP ใน <i>E. coli</i> ที่ได้รับการถ่ายโอนยีนในวิธีชีวสังเคราะห์ของ lycopene ร่วมกับการแสดงออกร่วมของยีน phosphoenolpyruvate (PEP) synthase และ PEP carboxykinase (<i>Pck</i>) ร่วมกับขั้นบัญชีการทำงานของยีน pyruvate kinase	lycopene	Farmer et al., 2001
การเปลี่ยนยีน <i>FPPS</i> เป็น <i>GGPPS</i> ด้วยเทคนิค site directed mutagenesis และหนีชานนำไปให้เกิดการแสดงออกใน <i>E. coli</i> ที่ได้รับการถ่ายโอนยีนที่อยู่ในวิธีชีวสังเคราะห์ของ carotenoids	lycopene และ tetrahydrolycopene	Lee et al., 2005
เพิ่มการแสดงออกของยีน <i>ispB</i> ในเข้าสู่โคโรโนโซมของ <i>E. coli</i> ที่ได้รับการถ่ายโอนยีน <i>dxs</i> , <i>idi</i> , <i>ispDF</i> และยีนที่เกี่ยวข้องในวิธีชีวสังเคราะห์ของ β -carotene (<i>crtE</i> , <i>crtB</i> , <i>crtI</i> และ <i>crtY</i>)	β -carotene	Yuan et al., 2006
การแสดงออกร่วมของยีน GGPPS ร่วมกับยีนที่ทำหน้าที่เป็น rate limiting ในวิธีชีวสังเคราะห์ MVA และกลุ่มยีนที่เกี่ยวข้องในวิธีชีวสังเคราะห์ของ lycopene	lycopene	Yoon et al., 2006
เพิ่มการแสดงออกของยีน GGPPS และกลุ่มยีนที่เกี่ยวข้องในวิธีชีวสังเคราะห์ของ zeaxanthin	zeaxanthin	Nishizaki et al., 2007

ตารางที่ 2.2 การทำวิศวกรรมเมทานอลิกของแคโรทีนอยด์ในยีสต์ผ่านการเพิ่มการสร้าง GGPP

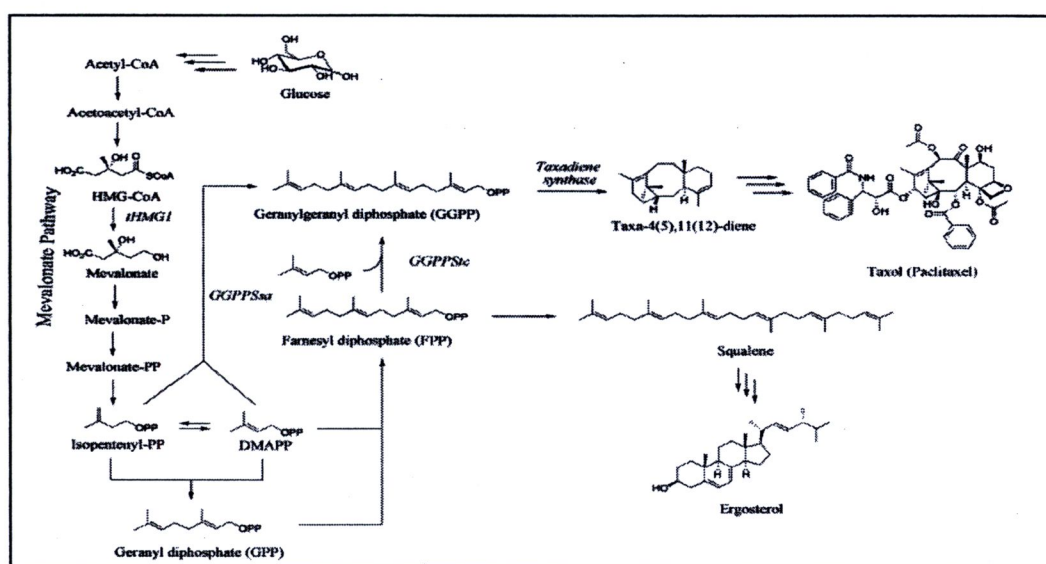
แนวทางการผลิต	แคโรทีนอยด์	เอกสารอ้างอิง
เพิ่มการแสดงออกของเอนไซม์ GGPPS ร่วมกับการขับขึ้น การแสดงออกของเอนไซม์ squalene synthase ใน <i>Candida utilis</i> ที่ได้รับการถ่ายโอนเข้าในวิถีชีวสังเคราะห์ของ lycopene	lycopene	Miura et al., 1998
เพิ่มระดับการสร้าง GGPP โดยการแทรกสอดเอนไซม์ GGPPS เข้าสู่ โคโรโนโซมของ <i>S. cerevisiae</i> ที่ได้รับการถ่ายโอนเข้าที่เกียวยข้องในวิถีชีวสังเคราะห์ของ β -carotene และ HMG-CoA reductase (HMGR)	β -carotene	Verwaal et al., 2007
การทำวิศวกรรมเมทานอลิกใน <i>P. pastoris</i> โดยการเพิ่มการแสดงออกของเอนไซม์ GGPPS ร่วมกับยีนที่เกียวยข้องในวิถีชีวสังเคราะห์ของ lycopene ส่งผลให้มีระดับการสร้าง lycopene สูงขึ้นเมื่อเทียบกับ control ที่ไม่ได้รับการถ่ายโอนเข้า GGPPS	lycopene	Lee et al., 2009

3.3.2 การเพิ่มการสร้าง GGPP เพื่อการผลิตสาร taxadiene

Taxol เป็นสารในกลุ่มไดเทอร์ปีน (diterpenoid) ที่ได้จากเปลือกของ *Taxus brevifolia* ซึ่งมีประสิทธิภาพในการรักษาโรคมะเร็งรังไข่ (ovarian cancer) และมะเร็งทรวงอก (breast cancer) ซึ่งมี taxadiene เป็นสารตัวกลางสำคัญในวิถีชีวสังเคราะห์ของ taxol โดย Huang และคณะได้ทำการวิศวกรรมเมทานอลิกของสาร taxadiene ใน *E. coli* BL21(DE3)RIL โดยใช้การแสดงออกร่วมของยีน *dxs*, *idi*, *GGPPS* และ taxadiene synthase (*TDS*) ที่ได้จาก *T. brevifolia* ส่งผลให้มีการผลิต taxadiene สูงขึ้นที่ระดับความเข้มข้น 1.3 mg/L ในขณะที่กลุ่มควบคุมที่ไม่ได้รับการถ่ายโอนเข้า GGPPS ไม่พบรากурсต์สาร taxadiene (รูปที่ 2.12) (Huang et al., 2001) และการทำวิศวกรรมเมทานอลิกในยีสต์ *S. cerevisiae* ที่ได้รับการถ่ายโอนเข้า HMG-CoA reductase (HMGR), *GGPPS*, และ *TDS* ส่งผลให้มีการผลิต taxadiene ที่ระดับความเข้มข้น 8.7 mg/L โดยที่กลุ่มควบคุมที่ไม่ได้รับการถ่ายโอนเข้า GGPPS ไม่พบรากурсต์สาร taxadiene (รูปที่ 2.13) (Engels et al., 2008)



รูปที่ 2.12 แสดงการทำวิศวกรรมเมทabolิกของ taxadiene ใน *E. coli* โดยใช้การแสดงออกร่วมของยีน *dxs* (1), *idi* (2), *GGPPS* (3) และ *TDS* (4) (Huang et al., 2001)

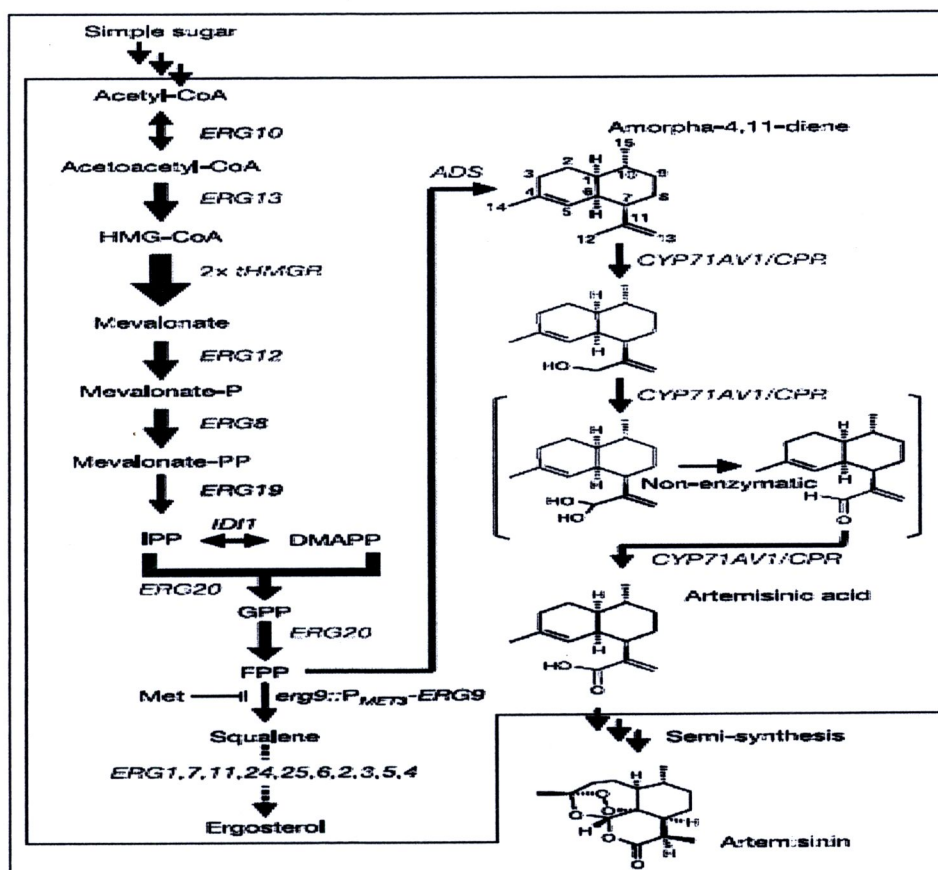


รูปที่ 2.13 แสดงการทำวิศวกรรมเมทabolิกของ taxadiene ใน *S. cerevisiae* โดยอาศัยการแสดงออกร่วมของยีน *tHMG1* (HMG-CoA reductase), *GGPPS* และ *TDS* (Engels et al., 2008)



3.4 การทำวิศวกรรมเคมีอัลกิเพื่อเพิ่มระดับการสร้างสารตัวกลางในวิตามินซีชีวสังเคราะห์ของ artemisinin

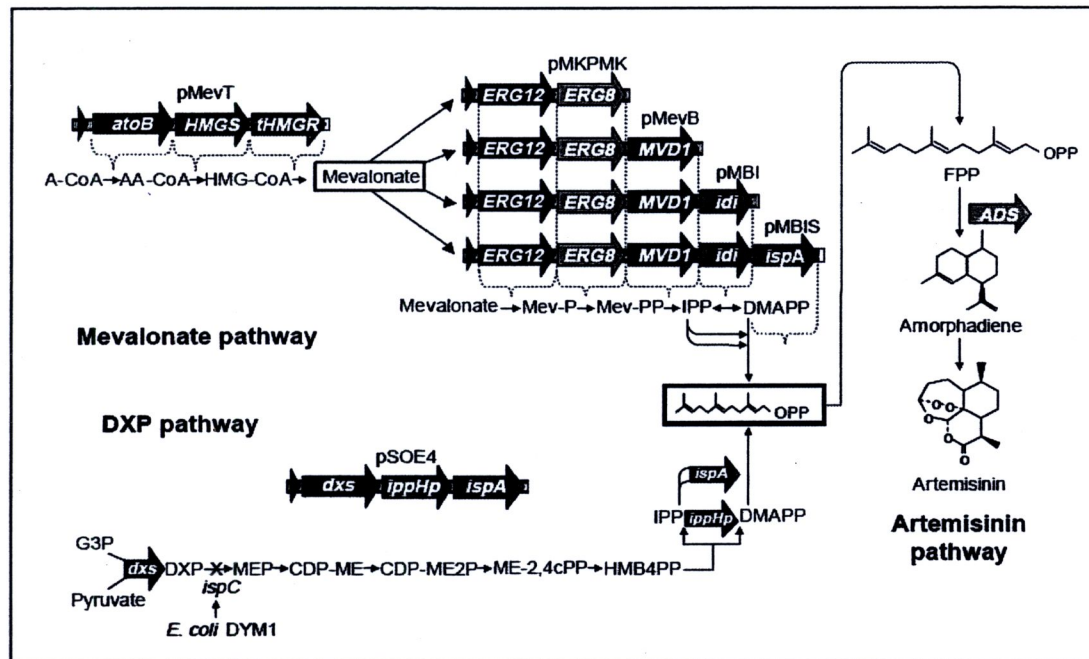
artemisinin เป็นสารในกลุ่ม sesquiterpene ได้จากต้นชิงเช่า (*Artemisia annua*) ใช้เป็นยารักษาโรคมาลาเรียที่เกิดจากปรสิตสายพันธุ์ *Plasmodium falciparum* การทำวิศวกรรมเคมีอัลกิของ artemisinin มีวัตถุประสงค์ในการผลิตสารตัวกลางในวิตามินซีชีวสังเคราะห์ของ artemisinin เพื่อนำสารเหล่านี้ไปสังเคราะห์ให้เป็น artemisinin ผ่านกระบวนการ biotransformation หรือการสังเคราะห์ด้วยวิธีการทางเคมี ในปี 2006 Lindahl และคณะได้ทำการทำวิศวกรรมเคมีอัลกิเพื่อเพิ่มระดับการสร้าง amorphadiene ใน *S. cerevisiae* โดยใช้การแสดงออกของยีน *FPPS* และ *amorphadiene synthase (ADS)* ส่งผลให้มีการผลิต amorphadiene สูงขึ้นที่ระดับความเข้มข้น 600 µg/L (Lindahl et al., 2006) การทำวิศวกรรมเคมีอัลกิของ amorphadiene ใน *E. coli* ที่ได้รับการถ่ายโอนยีน *FPP synthase (IspA)*, *idi*, *ADS* และ *HMGR* ส่งผลให้มีการผลิต amorphadiene ที่ระดับความเข้มข้น 27.4 g/L (Tsuruta et al., 2009) และการทำวิศวกรรมเคมีอัลกิของ artemisinic acid ในเชื้อ *S. cerevisiae* โดยเพิ่มการแสดงออกของยีน *HMGR*, *FPPS*, *ADS* และ基因 *ERG9* ในกลุ่มไซโตโครม P450 (cytochrome P450) ร่วมกับยับยั้งการแสดงออกของยีน *squalene synthase (ERG9)* ส่งผลให้มีการผลิต artemisinic acid เพิ่มขึ้นที่ได้ระดับความเข้มข้น 100 mg/L (รูปที่ 2.14) (Ro et al., 2006)



รูปที่ 2.14 แสดงการทำวิศวกรรมเมtabolismus ของ artemisinic acid ใน *S. cerevisiae*

(Ro et al., 2006)

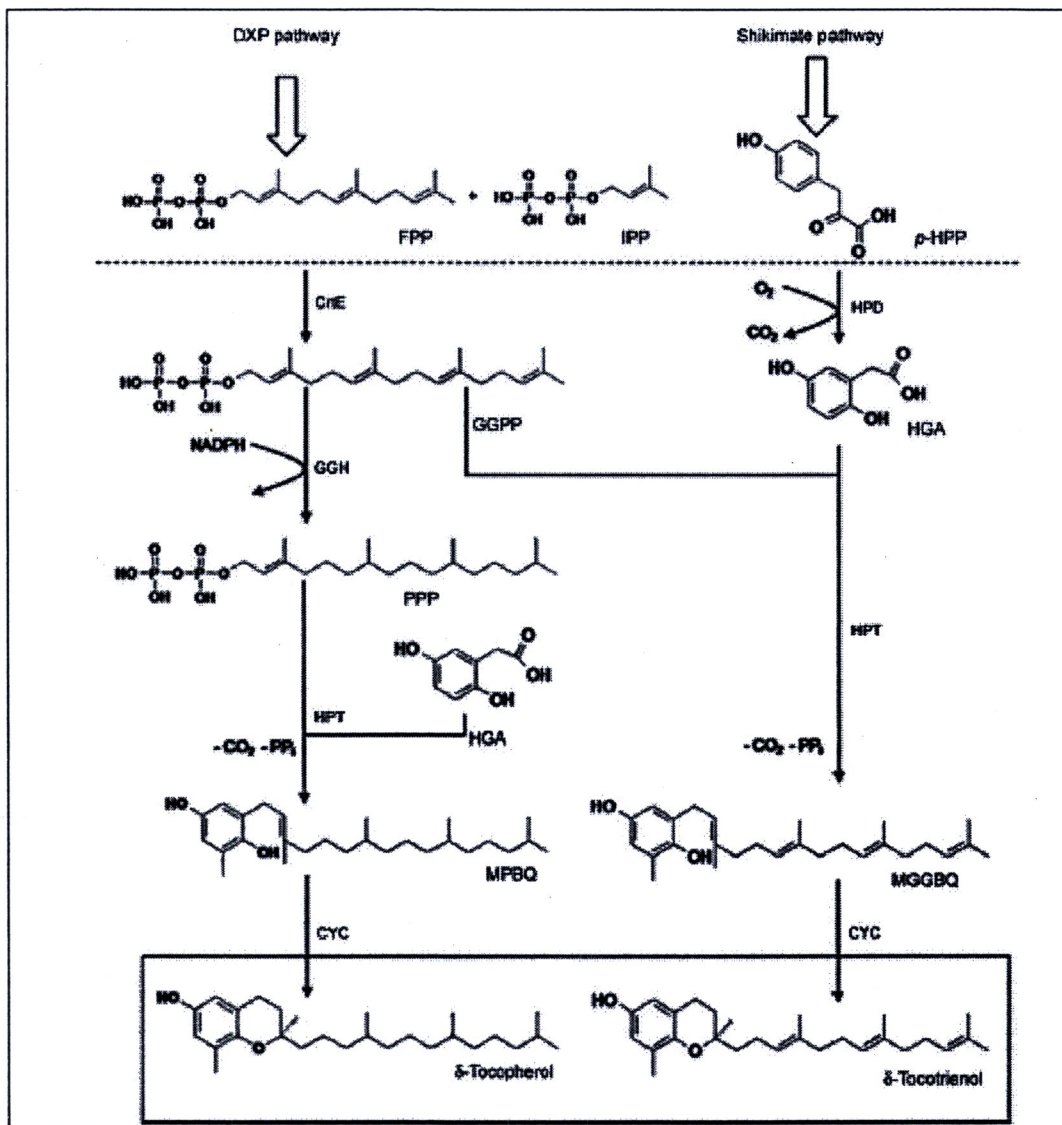
Martin และคณะได้ทำวิศวกรรมเมtabolismus ของ amorphadiene ใน *E. coli* DH10B โดยทำการถ่ายโอนยีนทั้งหมดในวิธีชีวสังเคราะห์แบบ mevalonate pathway ร่วมกับการแสดงออกร่วมของยีน *idi*, *IspA* และ *ADS* ที่ได้จาก *A. annua* ส่งผลให้มีการผลิต amorphadiene ที่ระดับความเข้มข้น 240 µg/L (Martin et al., 2006) (รูปที่ 2.15)



รูปที่ 2.15 แสดงการทำวิศวกรรมเมทานอลิกของ amorphadiene ใน *E. coli* (Martin et al., 2006)

3.5 การทำวิศวกรรมเมทานอลิกของสารตัวกลางอินไซด์ในวิธีชี้สังเคราะห์ของแทอร์บีนอยด์

การทำวิศวกรรมเมทานอลิกของโคเอนไซม์คิวเทน (CoQ10) ใน *E. coli* BL21(DE3) โดยใช้การแสดงออกร่วมของยีน *dxs* และ decaprenyl diphosphate synthase (*ddsA*) ส่งผลให้มีการผลิต CoQ10 เพิ่มขึ้นที่ระดับความเข้มข้น 46 mg/L (Kim et al., 2006) การทำวิศวกรรมเมทานอลิกของ CoQ10 โดยใช้การแสดงออกร่วมของยีนที่เป็น rate limiting step ในวิถี MVA ร่วมกับ decaprenyl diphosphate synthase (*ddsA*) ที่ได้จาก *Agrobacterium tumefaciens* ส่งผลให้มีการผลิต CoQ10 ที่ระดับความเข้มข้น 2,428±75 µg/L (Zahiri et al., 2006) และการผลิต δ-tocotrienol ใน *E. coli* DH5α โดยใช้การแสดงออกร่วมของยีน hydroxyphenylpyruvate dioxygenase (*hpd*), geranylgeranyl pyrophosphate synthase (*crtE*), geranylgeranyl pyrophosphate reductase (*ggh*), homogentisate phytyltransferase (*hpt*), และ tocopherol-cyclase (*cyc*) ส่งผลให้มีการผลิต tocotrienol ที่ระดับความเข้มข้น 15 µg/L (รูปที่ 2.15) (Albermann et al., 2008)



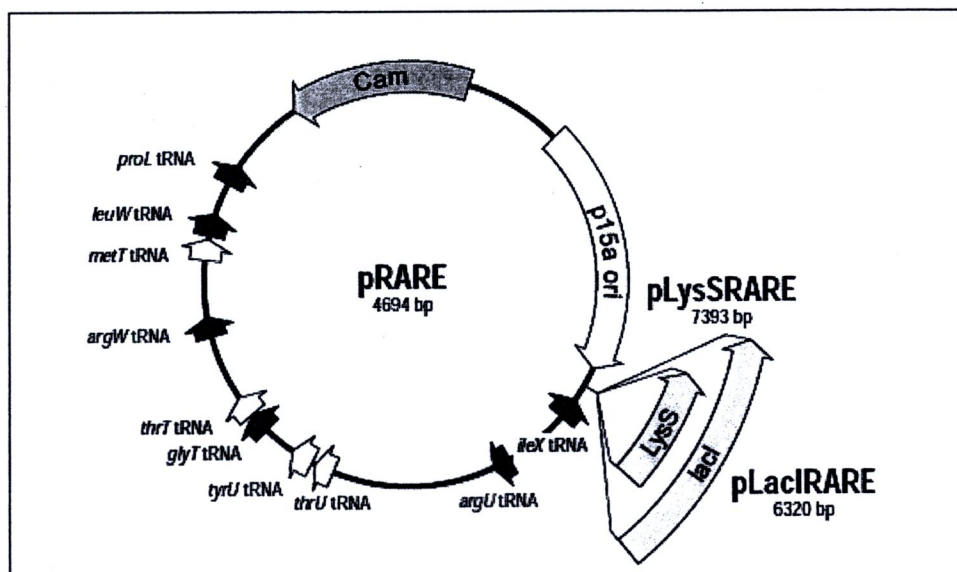
รูปที่ 2.16 แสดงการทำงานอลิกขของ tocotrienol ในริคอมบิแนนท์ *E. coli* โดยใช้การแสดงออกร่วมของยีน GGPPS และยีนที่เกี่ยวข้องในวิถีชีวสังเคราะห์ของ tocotrienol (Albermann et al., 2008)

4. ปัจจัยที่มีผลต่อการแสดงออกของยีนในระบบ *E. coli*

4.1 ผลของการใช้โคดอน (Codon usage)

ปัญหาที่พบได้ในการแสดงออกของยีนในระบบ heterologous expression คือรูปแบบการใช้โคดอนของสิ่งมีชีวิตที่แตกต่างกัน ดังนั้นการเปลี่ยนการใช้โคดอนให้เหมาะสมจึงมีส่วนสำคัญต่อการแสดงออกของยีนเป็นอย่างมาก และการทำวิศวกรรมเมtabolism เพื่อการผลิตสารทุติยภูมิ

ใน *E. coli* และ *S. cerevisiae* โดยแนวทางการปรับเปลี่ยนรหัสโคดอนมี 3 แนวทางได้แก่ การสังเคราะห์ยีนขึ้นใหม่ (synthetic gene) การทำโคทранส์ฟอร์เมชัน (co-transformation) ยีนเป้าหมายร่วมกับพลาสมิค pRARE ซึ่งผ่านการตัดต่อให้มีการแสดงออกของ rare codon ที่พบมากใน *E. coli* ได้แก่ *argU* (AGA/AGG), *argW* (AGG), *argX* (CGG), *ileX* (AUA), *leuW* (CUA), *glyT* (GGA) และ *proL* (CCC) (ดังที่แสดงในรูป 16) และการถ่ายโอนริคอมบิแนนท์ยีนเข้าสู่ *E. coli* BL21(DE3)RIPL ที่ผ่านการคัดแปลงพันธุกรรมให้มีการแสดงออกของ rare codon หากเกินปกติ (overexpression)



รูปที่ 2.17 แสดงแผนที่ของพลาสมิค pRARE ที่มีการแสดงออกของ rare codon (Redwan, 2006)

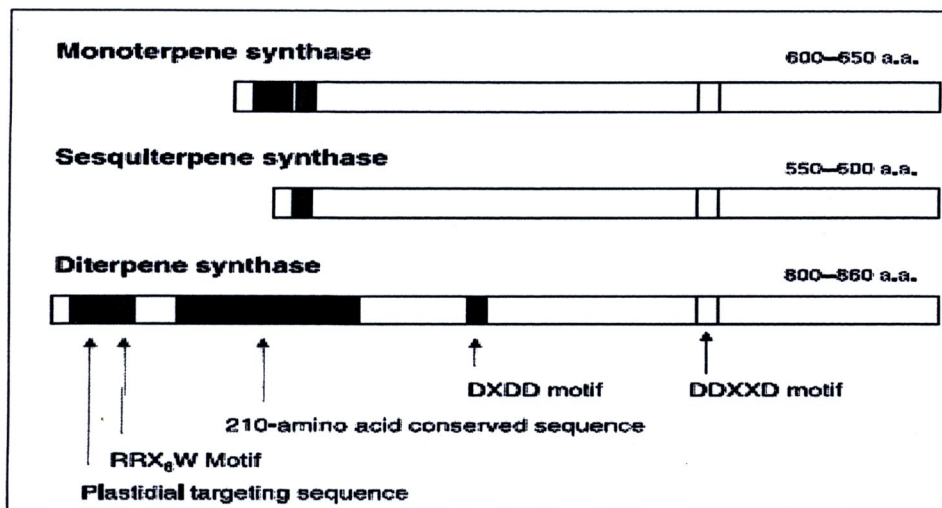
Martin และคณะได้ทำการวิเคราะห์ทางเคมีเพื่อเพิ่มระดับการสร้าง amorphadiene ใน *E. coli* โดยใช้ยีน *ADS* ที่ผ่านการสังเคราะห์ให้มีการใช้โคดอนใกล้เคียงกับ *E. coli* ส่งผลให้มีการผลิต amorphadiene สูงขึ้นเมื่อเทียบกับยีน *ADS* ที่ได้จาก *A. annua* (Martin et al., 2006) และการทำวิศวกรรมเมtabolism ของ taxadiene ใน *S. cerevisiae* โดยใช้ยีน *TDS* ที่ผ่านการสังเคราะห์รหัสโโคดอนใกล้เคียงกับ *S. cerevisiae* ส่งผลให้มีระดับการสร้าง taxadiene สูงขึ้นเมื่อเทียบกับควบคุมที่ได้รับการถ่ายโอนยีน *TDS* ที่ได้จาก *T. brevifolia* (Engels et al., 2008) การทำวิศวกรรมเมtabolism ของแครอทินอยด์โดยทำการถ่ายโอนยีนในวิถีชีวสังเคราะห์ของ Carotenoid ที่ผ่านการสังเคราะห์รหัสโโคดอนใกล้เคียงกับ *C. utilis* ส่งผลให้มีระดับการสร้าง carotenoid สูงขึ้นเมื่อเทียบกับกลุ่มควบคุม (Miura et al., 1998)

การถ่ายโอนยีน TDS เข้าสู่ *E. coli* BL21(DE3)RIL เพื่อแก้ปัญหาการใช้โคค่อนที่แตกต่างกันระหว่างพืชกับ *E. coli* ส่งผลให้มีการผลิตสาร taxadiene สูงขึ้นเมื่อเทียบกับกลุ่มควบคุม (Huang et al., 2001) และการทำวิศวกรรมเมทabolism ของสารในกลุ่ม monoterpenes โอนยีน GGPPS และ limonene synthase เข้าสู่ *E. coli* BL21(DE3)RIL ส่งผลให้มีระดับการสร้าง limonene สูงขึ้น (Carter et al., 2003)

การทำวิศวกรรมเมทabolism โดยอาศัยเทคนิคโคทранส์ฟอร์เมชั่น โดยการถ่ายโอนยีน เป้าหมายร่วมกับพลาสมิด pRARE ส่งผลให้มีการผลิตสารที่มีค่าคงที่ Martin และคณะได้ทำการถ่ายโอนยีนที่เกี่ยวข้องในวิถีชีวสังเคราะห์ sesquiterpene ร่วมกับพลาสมิด pRARE เข้าสู่ *E. coli* DH5α ส่งผลให้มีระดับการสร้าง cadiene, 5-epi-aristolochene และ vetispiradiene สูงขึ้น (Martin et al., 2001)

4.2 ผลของเปปไทด์สัญญาณต่อการแสดงของยีนในระบบ heterologous expression

ปัญหาสำคัญที่พบได้อีกอย่างหนึ่งจากการแสดงออกของยีนที่มาจากการถ่ายโอนยีนในระบบ heterologous expression คือริคอมบินแนท์โปรตีนที่ได้มีสภาพการละลายต่ำหรือเรียกว่า “inclusion body” โดยเฉพาะอย่างยิ่งการแสดงออกของยีน monoterpenes synthase และ diterpene synthase ซึ่งมีส่วนของเปปไทด์สัญญาณ (signal peptide) อยู่ที่ปลายด้านอะมิโน (NH_2 terminal) ทำหน้าที่ขนส่งโปรตีนเป้าหมายไปสู่คลอโรพลาสต์ (รูปที่ 2.18) ดังนั้นการแสดงออกของยีนดังกล่าวจำเป็นต้องทำการตัดส่วนของเปปไทด์สัญญาณออก เพื่อเพิ่มระดับการแสดงออก และลดการเกิด inclusion body (Keeling et al., 2006) โดยที่ Huang และคณะได้ทำการถ่ายโอนยีนดังกล่าวในแบบ wild type (Huang et al., 2001) เมื่อเทียบกับกลุ่มควบคุมที่ได้รับการถ่ายโอนยีนดังกล่าวในแบบ truncated version ส่งผลให้มีการผลิต limonene สูงขึ้นเมื่อเทียบกับกลุ่มควบคุมที่ได้รับการถ่ายโอนยีนดังกล่าวในรูปแบบ premature gene (Carter et al., 2003)



รูปที่ 2.18 แสดงโครงสร้างพื้นฐานของยีน monoterpene และ diterpene synthase ประกอบด้วย เปปไทด์สัญญาณทำหน้าที่ในการขนส่ง โปรตีนเข้าหมาเย้าสู่คลอโรพลาสต์ โดยที่ยีน sesquiterpene synthase ไม่พบบริเวณดังกล่าวเนื่องจากการสังเคราะห์เกิดขึ้นใน ไซโตพลาสซึม (Keeling et al., 2006)

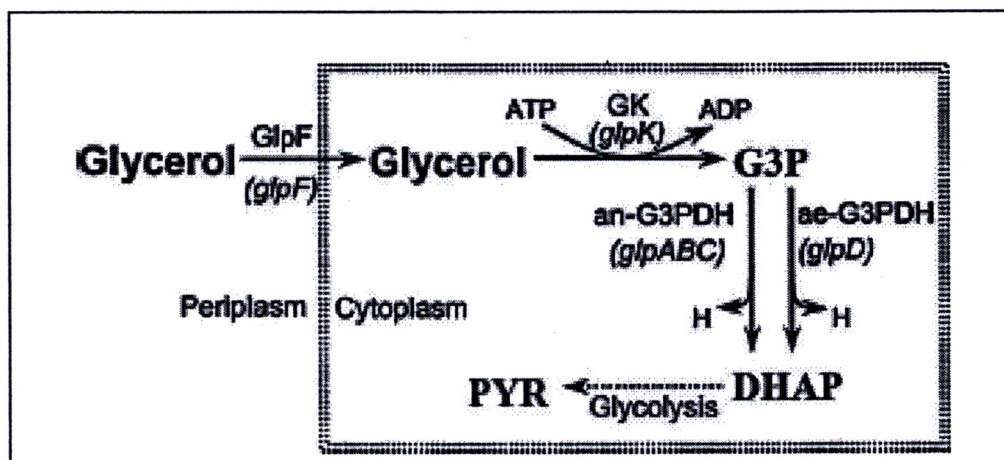
4.3 ผลของอุณหภูมิต่อการแสดงออกของยีนในระบบ *E. coli*

การปรับเปลี่ยนอุณหภูมิให้เหมาะสมยังเป็นตัวกำหนดสภาพการละลายของ โปรตีนที่ได้ และการเกิด inclusion body โดยที่การปรับเปลี่ยนอุณหภูมิให้ต่ำลงมีผลให้โปรตีนที่ได้มีสภาพการ ละลายสูงขึ้นเนื่องจากขั้นตอนต่างๆ ที่เกี่ยวข้องในการสังเคราะห์โปรตีน เช่น transcription, translation และ folding จะเกิดขึ้นอย่างช้าๆ (Georgiou and Valax 1996: Baneyx 1999) ตัวอย่างเช่น *E. coli* ที่ได้รับการถ่ายโอนยีนที่อยู่ในวิธีชีวสังเคราะห์ของ lycopene การปรับเปลี่ยนอุณหภูมิที่ใช้ จาก 37 °C เป็น 25 °C ส่งผลให้มีระดับการสร้าง lycopene สูงขึ้น เนื่องการลดการเกิด inclusion body ของริคอมบิแนนท์โปรตีน (Kim et al., 2009) การทำวิศวกรรมเมtabolikของ limonene โดย อาศัยการแสดงออกร่วมของยีน GPPS และ limonene synthase ที่อุณหภูมิ 18 °C ส่งผลให้มีระดับ การสร้าง limonene สูงขึ้น (Carter et al., 2003) การทำวิศวกรรมเมtabolikของ torulene ใน *E. coli* โดยลดอุณหภูมิที่ใช้จาก 37 °C เป็น 28 °C ส่งผลให้มีการผลิต torulene สูงขึ้น (Lee et al., 2004) การ ทำวิศวกรรมเมtabolikของสาร sesquiterpene ใน *E. coli* โดยทำการปรับเปลี่ยนอุณหภูมิที่ใช้จาก 37 °C เป็น 30 °C ส่งผลให้มีการผลิต 5-epi-aristolochene สูงขึ้น (Martin et al., 2001) การผลิต β-carotene ใน *E. coli* ที่ผ่านการทำวิศวกรรมเมtabolik โดยปรับเปลี่ยนอุณหภูมิที่ใช้จาก 37 °C เป็น 25 °C ส่งผลให้มีการผลิต β-carotene สูงขึ้น (Kim et al., 2006)

5. การเพิ่มระดับการสร้างสารทุติยภูมิโดยการใช้กลีเซอรอล (glycerol) เป็นแหล่งของการรับอน

แนวทางหนึ่งที่มีการใช้เพิ่มระดับการสร้างสารทุติยภูมิในจุลินทรีย์คือ การใช้กลีเซอรอลเป็นแหล่งของการรับอน โดยที่ขบวนการสลายกลีเซอรอลใน *E. coli* เริ่มจากการบนส่างกลีเซอรอลเข้าสู่ไซโตพลาซึมโดยการทำงานของเอนไซม์ GlpF จากนั้นเอนไซม์ glycerol kinase (glpK) เร่งปฏิกิริยาฟอสฟอริเลชัน (phosphorylation) ได้เป็น G 3-P และเข้าสู่วิถี glycolytic ในที่สุด (รูปที่ 2.18) (Murarka et al., 2008)

ตัวอย่างของการใช้กลีเซอรอลได้แก่ Kim และคณะ ได้ทำวิศวกรรมเมทابอลิกของ β -carotene ใน *E. coli* โดยใช้การแสดงออกร่วมของยีนที่เกี่ยวข้องในวิถีสังเคราะห์ของ β -carotene ร่วมกับการเติมกลีเซอรอลในอาหารเหลว 2YT medium ส่งผลให้มีการผลิต β -carotene เพิ่มขึ้นเมื่อเทียบกับกลุ่มควบคุมที่ไม่มีการเติมกลีเซอรอล (Kim et al., 2006) การทำวิศวกรรมเมทابอลิกของสารในกลุ่ม sesquiterpene ใน *E. coli* DH5 α โดยใช้อาหารเหลวสูตร M9 medium ที่มีการเติมกลีเซอรอลร่วมกับการเพิ่มการแสดงออกของยีนที่เกี่ยวข้องในวิถีสังเคราะห์ของ sesquiterpene (Martin et al., 2001) การเพิ่มการผลิต lycopene ใน *E. coli* โดยใช้การแสดงออกร่วมของยีนที่เกี่ยวข้องในวิถีสังเคราะห์ของ lycopene ร่วมกับการเติมกลีเซอรอลในอาหารเหลว 2YT medium ส่งผลให้มีการผลิต lycopene เพิ่มขึ้น (Yoon et al., 2006)



รูปที่ 2.19 แสดงวิถีการสลายกลีเซอรอลใน *E. coli* โดยที่ G3P คือ glyceraldehydes 3 phosphate, DHAP คือ dihydroxy acetone phosphate, PYR คือ pyruvate, glpK คือ ATP-dependent glycerol kinase และ glpD คือ glyceraldehyde 3 phosphate dehydrogenase (Murarka et al., 2008)